

# 1 Динамика.

Рассматривается мультипликативная постановка:

$$X_{t+1} = X_t \xi_{t+1}, \xi_t \in [a, b], a < 1 < b.$$

$$\xi_t = \rho \xi_{t-1} + \eta_t, \eta_t - \text{н.о.р.с.в}$$

$$E\eta = 1, |\rho| < 1, \eta_t \in [c, d]$$

В начальный момент нам известно  $X_0$ . Считаем, что  $\xi_0 \in [a, b]$ . Решается задача хеджирования для опционов трех видов.

## 1.1 Задание 1. Опцион Look-Back (call).

Функция выплат имеет вид:

$$\zeta = (X_T - \wedge_{s=0}^T X_s)_+$$

На семинарах вывели формулы для функции Беллмана и оптимальной хеджирующей стратегии:

$$\begin{cases} V_T^* = \zeta \\ V_{t-1}^* = \pi V_t^*(aX_{t-1}, M_{t-1} \wedge aX_{t-1}) + (1 - \pi) V_t^*(bX_{t-1}, M_{t-1} \wedge bX_{t-1}) \end{cases}$$

$$H_t^* = \frac{V_t^*(bX_{t-1}, M_{t-1} \wedge bX_{t-1}) - V_t^*(aX_{t-1}, M_{t-1} \wedge aX_{t-1})}{X_{t-1}(b - a)}$$

где  $\pi = \frac{b-1}{b-a}$ , а  $M_t = \wedge_{s=0}^t X_s$ .

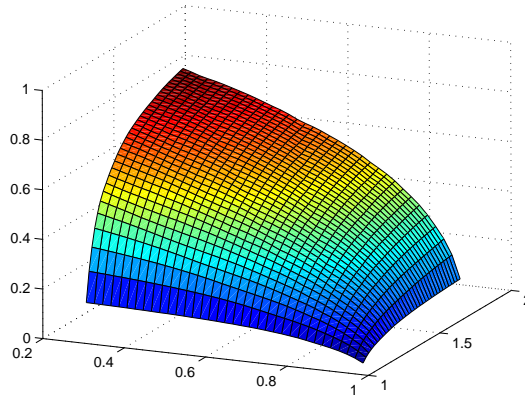


Рис.1. Зависимость  $V_0^*(a, b)$ .

Цена опциона зависит от базового актива. На Рис.1 приведен график зависимости цены опциона Look-Back call от величины интервала, в котором изменяется  $\xi_t$  — приращение цены базового актива.

Как видно, чем больше интервал  $[a, b]$ , тем большую цену имеет опцион. Чем больше шире  $[a, b]$ , тем больше неопределенность, а следовательно продавец опциона берет на себя большие риски. А так как за риск надо платить, то цена опциона увеличивается по мере увеличения интервала  $[a, b]$ .

Чем шире интервал  $[a, b]$  тем ближе цена опциона к начальной цене актива. На Рис.2 и Рис.3 изображены примеры оптимальных хеджирующих стратегий для разных интервалов  $[a, b]$

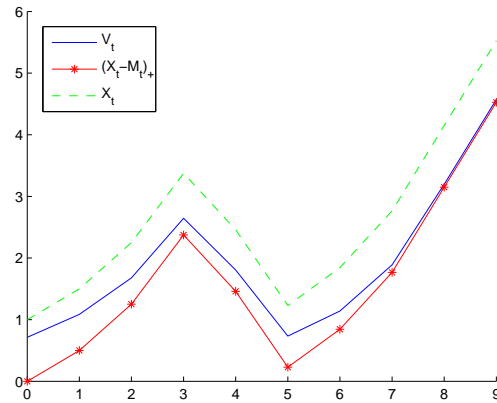


Рис.2. Оптимальная хеджирующая стратегия для  $X_0=1, a = 0.5, b=1.5$ .

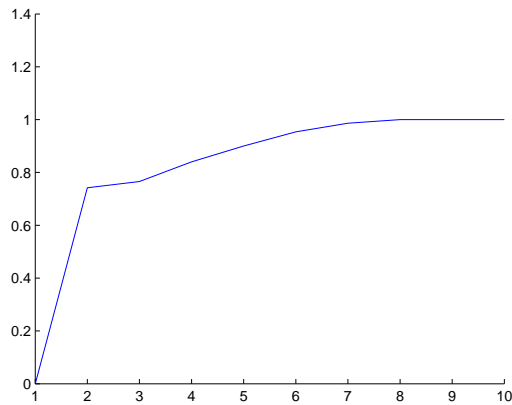


Рис.3. Оптимальная стратегия  $X_0=1, a=0.5, b=1.5$ .

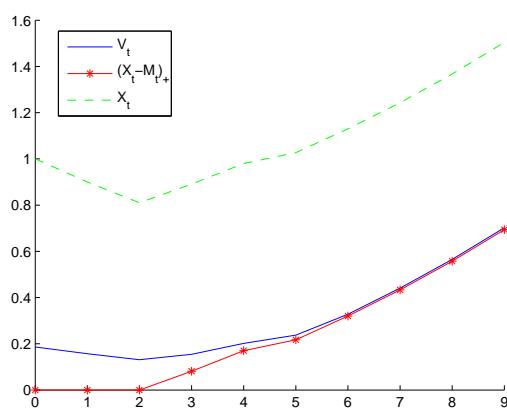


Рис.4. Оптимальная хеджирующая стратегия для  $X_0=1, a = 0.9, b=1.1$ .

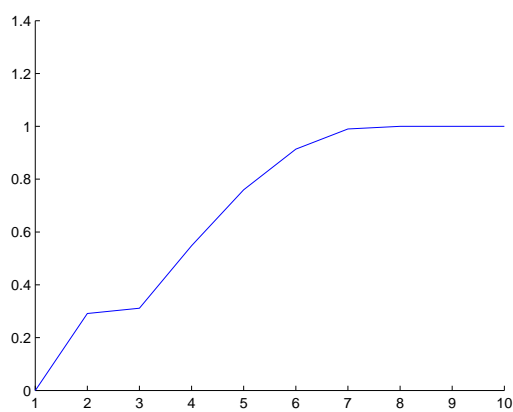


Рис.5. Оптимальная стратегия  $X_0=1, a=0.9, b=1.1$ .

## 1.2 Задание 2. Американский опцион put.

Функция выплат имеет вид  $\zeta_t = (K - X_t)_+$ . Особенностью этого опциона является то, что покупатель опциона может предъявить право на продажу базового актива в любой момент  $t \in [1, T]$ . Фактически это означает, что продавец опциона играет не против рынка, но и против контрагента. Решим задачу гарантированного хеджирования для этого опциона.

Если контрагент предъявил обязательство в момент  $\tau$ , то  $\tau$  – момент остановки и  $\tau \in [1, T]$ . Так как в игровой постановке мы рассматриваем самый худший случай, то будем считать, что контрагент играет против нас и предъявляет право на продажу в самый худший для нас момент  $\tau^* : V_s = E^{F_s} \zeta_{\tau^*} \geq E^{F_s} \zeta_\tau$ . Построим функцию Беллмана рекурсивно:

1.  $V_T^* = \zeta_T$ .

2. Покажем, что

$$V_{t-1}^* = \zeta_{t-1} \vee \max_{\sigma(Q_{\xi_{t-1}})=[a,b], \int z Q_{\xi_{t-1}}(dz)=1} \int V_t^*(X_{t-1} * u) Q_{\xi_{t-1}}(du)$$

Действительно, пусть для  $t = K, \dots, T$  это выполнено. Рассмотрим момент  $t = K - 1$ . Возможны два случая.

Если  $K - 1 = \tau^*$ , то

$$V_{K-1} = \zeta_{K-1}$$

Если же  $\tau^* > K - 1$ , то получаем задачу для европейского опциона с  $T = \tau^*$  и

$$V_{K-1} = \max_{\sigma(Q_{\xi_{K-1}})=[a,b], \int z Q_{\xi_{K-1}}(dz)=1} \int V_t^*(X_{K-1} * u) Q_{\xi_{K-1}}(du)$$

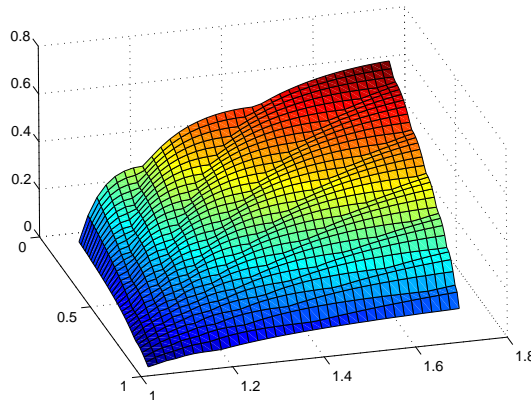


Рис.6.  $V_0^*(a, b)$ ,  $K = 1$ ,  $X_0 = 1$ .

Так как мы рассматриваем самый худший для нас случай, то получаем

$$V_{K-1}^* = \zeta_{K-1} \vee \max_{\sigma(Q_{\xi_{t-1}})=[a,b], \int z Q_{\xi_{K-1}}(dz)=1} \int V_t^*(X_{K-1} * u) Q_{\xi_{K-1}}(du)$$

Далее рассматриваем меру, на которой достигается максимум. В силу выпуклости  $\max$  выпукла и  $V_t$ , а следовательно эта мера сосредоточена на концах отрезка  $[a, b]$ . И тогда получаем уравнения для функции Беллмана и оптимально хэджирующей стратегии. Следует отметить, что функция Беллмана  $V_t$  в этом случае зависит от  $X_{t-1}$ :

$$\begin{cases} V_T^* = (K - X_T)_+ \\ V_{t-1}^* = (K - X_{t-1})_+ \vee \pi V_t^*(aX_{t-1}) + (1 - \pi)V_t^*(bX_{t-1}) \end{cases}$$

$$H_t^* = \pi \frac{V_t^*(aX_{t-1}) - V_{t-1}^*(X_{t-1})}{X_{t-1}(a - 1)} + (1 - \pi) \frac{V_t^*(bX_{t-1}) - V_{t-1}^*(X_{t-1})}{X_{t-1}(b - 1)}$$

Оптимальным моментом остановки будет считаться первый момент, когда  $V_t^* = \zeta_t$ . Для американского опциона put  $V^* 0(a, b)$  представлена на Рис.6.

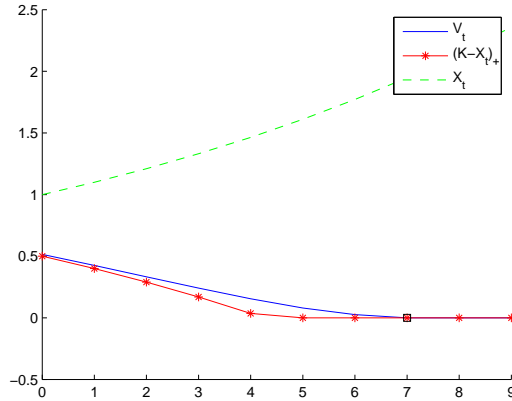


Рис.7. Оптимальная стратегия и оптимальный момент остановки.

$$a=0.9, b=1.1, K=1.5, X_0 = 1..$$

На Рис.7 и 8 представлена оптимальная стратегия и оптимальный момент остановки (обозначен квадратиком)  $\tau^* < T$ .

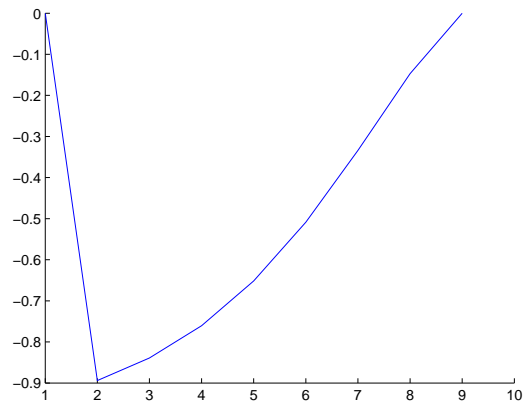


Рис.8. Оптимальная стратегия.

На Рис.9 и 10 оптимальный момент остановки совпадает с моментом  $T$ .

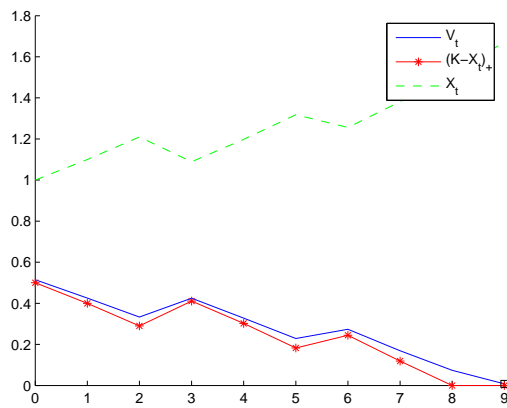


Рис.9. Оптимальная стратегия и оптимальный момент остановки.  
 $a=0.9, b=1.1, K=1.5, X_0 = 1..$

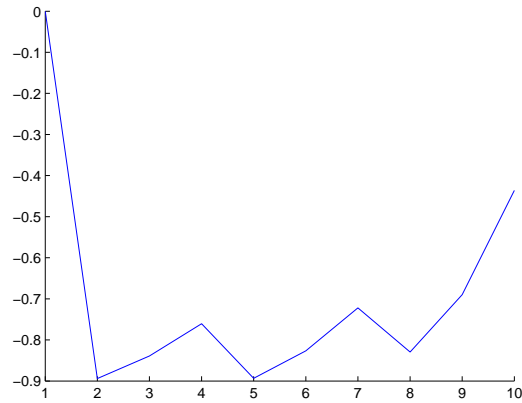


Рис.10. Оптимальная стратегия.

### 1.3 Задание 3. Азиатский опцион call.

Функция выплат имеет следующий вид:

$$\zeta = (X_T - \frac{1}{T+1} \sum_{s=0}^T X_s)_+$$

Поступая аналогично первому случаю только вместо  $M_t$  рассматриваем  $S_t = \frac{1}{t} \sum_{i=1}^t X_i$ .

Получаем уравнения Беллмана и оптимальную хэджирующую стратегию:

$$\begin{cases} V_T^* = \zeta \\ V_{t-1}^* = \pi V_t^*(aX_{t-1}, \frac{t-1}{t}S_{t-1} + \frac{1}{t}aX_{t-1}) + (1-\pi)V_t^*(bX_{t-1}, \frac{t-1}{t}S_{t-1} + \frac{1}{t}bX_{t-1}) \end{cases}$$

$$H_t^* = \frac{V_t^*(bX_{t-1}, \frac{t-1}{t}S_{t-1} + \frac{1}{t}bX_{t-1}) - V_t^*(aX_{t-1}, \frac{t-1}{t}S_{t-1} + \frac{1}{t}aX_{t-1})}{X_{t-1}(b-a)}$$

На Рис.11 представлена  $V_0^*(a, b)$ . Следует отметить, что цена азиатского call всегда меньше цены Look-Back call. Так как исходя из спецификации опциона покупатель Look-Back будет покупать базовый актив по заведомо меньшей цене, чем покупатель азиатского call.

Опцион	[0.7,1.3]	[0.8,1.2]	[0.9,1,1]
Look-Back	0.4912	0.3497	0.1862
Азиатский	0.4694	0.3324	0.1759

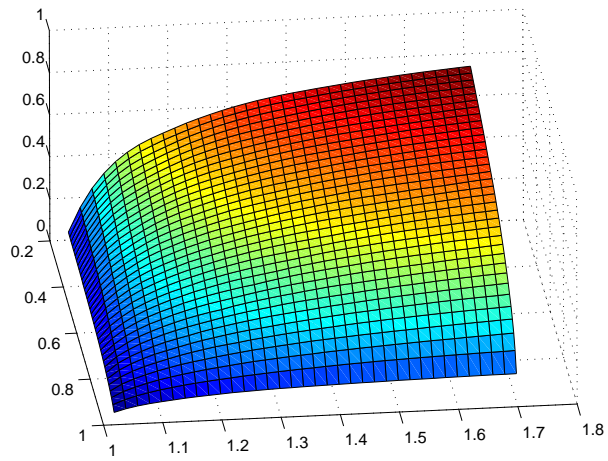


Рис.11.  $V_0^*(a, b)$ .

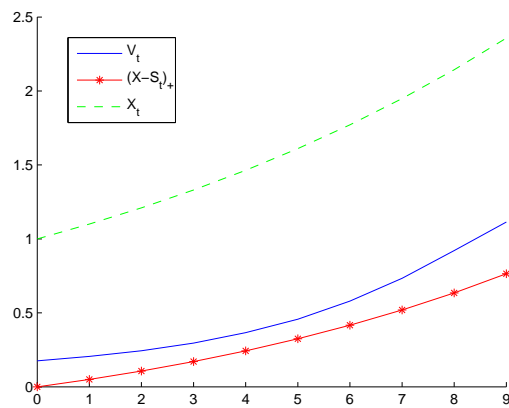


Рис.12. Функция Беллмана и оптимальная стратегия  $X_0=1, a=0.9, b=1.1$ .



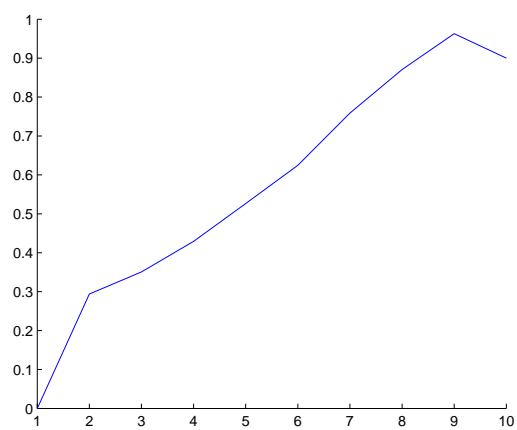


Рис.13. Оптимальная стратегия.